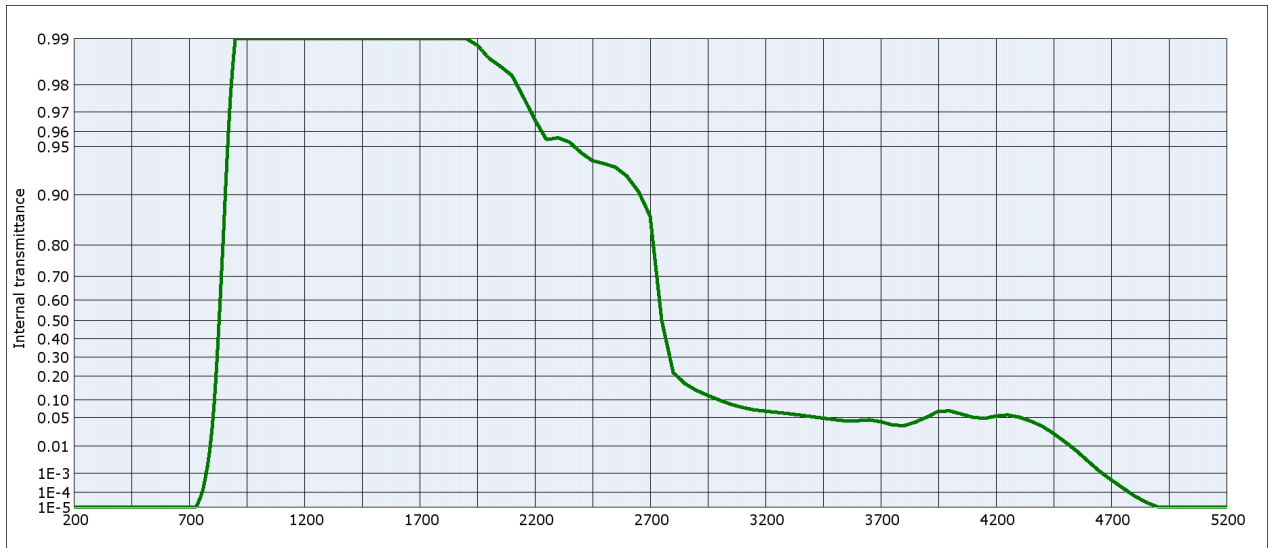


RG830



Internal transmittance τ_i at reference thickness $d = 3 \text{ mm}$
 The internal transmittance values, tabulated and graphically represented, are reference values only

λ [nm]	τ_i	λ [nm]	τ_i	λ [nm]	τ_i	λ [nm]	τ_i	λ [nm]	τ_i	λ [nm]	τ_i
200	$< 10^{-5}$	500	$< 10^{-5}$	800	$3.0 \cdot 10^{-2}$	1100	0.997	2200	0.966	3700	$4.1 \cdot 10^{-2}$
210	$< 10^{-5}$	510	$< 10^{-5}$	810	$9.9 \cdot 10^{-2}$	1110	0.997	2250	0.955	3750	$3.5 \cdot 10^{-2}$
220	$< 10^{-5}$	520	$< 10^{-5}$	820	0.260	1120	0.997	2300	0.956	3800	$3.4 \cdot 10^{-2}$
230	$< 10^{-5}$	530	$< 10^{-5}$	830	0.490	1130	0.997	2350	0.953	3850	$4.1 \cdot 10^{-2}$
240	$< 10^{-5}$	540	$< 10^{-5}$	840	0.699	1140	0.997	2400	0.946	3900	$5.1 \cdot 10^{-2}$
250	$< 10^{-5}$	550	$< 10^{-5}$	850	0.837	1150	0.997	2450	0.939	3950	$6.6 \cdot 10^{-2}$
260	$< 10^{-5}$	560	$< 10^{-5}$	860	0.919	1160	0.997	2500	0.936	4000	$6.7 \cdot 10^{-2}$
270	$< 10^{-5}$	570	$< 10^{-5}$	870	0.958	1170	0.998	2550	0.933	4050	$5.9 \cdot 10^{-2}$
280	$< 10^{-5}$	580	$< 10^{-5}$	880	0.977	1180	0.998	2600	0.923	4100	$5.1 \cdot 10^{-2}$
290	$< 10^{-5}$	590	$< 10^{-5}$	890	0.985	1190	0.998	2650	0.904	4150	$4.8 \cdot 10^{-2}$
300	$< 10^{-5}$	600	$< 10^{-5}$	900	0.990	1200	0.998	2700	0.865	4200	$5.4 \cdot 10^{-2}$
310	$< 10^{-5}$	610	$< 10^{-5}$	910	0.993	1250	0.998	2750	0.500	4250	$5.6 \cdot 10^{-2}$
320	$< 10^{-5}$	620	$< 10^{-5}$	920	0.994	1300	0.999	2800	0.218	4300	$5.1 \cdot 10^{-2}$
330	$< 10^{-5}$	630	$< 10^{-5}$	930	0.995	1350	1.000	2850	0.166	4350	$4.3 \cdot 10^{-2}$
340	$< 10^{-5}$	640	$< 10^{-5}$	940	0.995	1400	0.998	2900	0.137	4400	$3.3 \cdot 10^{-2}$
350	$< 10^{-5}$	650	$< 10^{-5}$	950	0.996	1450	0.999	2950	0.117	4450	$2.2 \cdot 10^{-2}$
360	$< 10^{-5}$	660	$< 10^{-5}$	960	0.996	1500	1.000	3000	0.100	4500	$1.3 \cdot 10^{-2}$
370	$< 10^{-5}$	670	$< 10^{-5}$	970	0.996	1550	1.000	3050	$8.6 \cdot 10^{-2}$	4550	$7.1 \cdot 10^{-3}$
380	$< 10^{-5}$	680	$< 10^{-5}$	980	0.996	1600	1.000	3100	$7.6 \cdot 10^{-2}$	4600	$3.1 \cdot 10^{-3}$
390	$< 10^{-5}$	690	$< 10^{-5}$	990	0.996	1650	0.998	3150	$7.0 \cdot 10^{-2}$	4650	$1.2 \cdot 10^{-3}$
400	$< 10^{-5}$	700	$< 10^{-5}$	1000	0.996	1700	0.996	3200	$6.6 \cdot 10^{-2}$	4700	$4.9 \cdot 10^{-4}$
410	$< 10^{-5}$	710	$< 10^{-5}$	1010	0.996	1750	0.994	3250	$6.3 \cdot 10^{-2}$	4750	$1.8 \cdot 10^{-4}$
420	$< 10^{-5}$	720	$< 10^{-5}$	1020	0.996	1800	0.992	3300	$5.9 \cdot 10^{-2}$	4800	$6.2 \cdot 10^{-5}$
430	$< 10^{-5}$	730	$1.0 \cdot 10^{-5}$	1030	0.996	1850	0.991	3350	$5.6 \cdot 10^{-2}$	4850	$2.4 \cdot 10^{-5}$
440	$< 10^{-5}$	740	$2.3 \cdot 10^{-5}$	1040	0.997	1900	0.990	3400	$5.2 \cdot 10^{-2}$	4900	$1.1 \cdot 10^{-5}$
450	$< 10^{-5}$	750	$5.2 \cdot 10^{-5}$	1050	0.997	1950	0.989	3450	$4.9 \cdot 10^{-2}$	4950	$< 10^{-5}$
460	$< 10^{-5}$	760	$1.4 \cdot 10^{-4}$	1060	0.997	2000	0.987	3500	$4.6 \cdot 10^{-2}$	5000	$< 10^{-5}$
470	$< 10^{-5}$	770	$5.6 \cdot 10^{-4}$	1070	0.997	2050	0.985	3550	$4.3 \cdot 10^{-2}$	5050	$< 10^{-5}$
480	$< 10^{-5}$	780	$2.0 \cdot 10^{-3}$	1080	0.997	2100	0.983	3600	$4.4 \cdot 10^{-2}$	5100	$< 10^{-5}$
490	$< 10^{-5}$	790	$7.8 \cdot 10^{-3}$	1090	0.997	2150	0.976	3650	$4.5 \cdot 10^{-2}$	5150	$< 10^{-5}$